



دانشکده مهندسی  
گروه مهندسی عمران

رساله دکتری

شبیه سازی دو بعدی اندر کنش سیال و جسم جامد در  
پدیده های اسلامینگ و برخورد موج و سازه

حسن ساقی

شهریور ۱۳۹۱

شبیه سازی دو بعدی اندر کنش سیال و جسم جامد در  
پدیده های اسلاشینگ و برخورد موج و سازه

حسن ساقی

۱۳۹۱



دانشکده مهندسی - گروه مهندسی عمران

رساله دکتری در رشته مهندسی عمران - آب

شبیه سازی دو بعدی اندر کنش سیال و جسم جامد در  
پدیده های اسلامینگ و برخورد موج و سازه

حسن ساقی

استاد راهنما  
دکتر محمد جواد کتابداری

اساتید مشاور

دکتر منصور قلعه نوی  
دکتر روزبه پناهی

این پایان نامه با عنوان « شبیه سازی دو بعدی اندر کنش سیال و جسم جامد در پدیده های همزمان اسلامشینگ و برخورد موج و سازه » توسط « حسن ساقی » در تاریخ ۹۱/۰۵/۱۵ با نمره ۹۷ و درجه ارزشیابی در حضور هیات داوران با موفقیت دفاع شد.

هیات داوران:

ردیف	نام و نام خانوادگی	مرتبه علمی	سمت در هیات	اعضاء
۱	آقای دکتر محمد جواد کتابداری	دانشیار	استاد راهنمای	
۲	آقای دکتر روزبه پناهی	استادیار	استاد مشاور	
۳	آقای دکتر منصور قلعه نوی	استادیار	استاد مشاور	
۴	آقای دکتر محمود فغفور مغربی	استاد	استاد مدعو (داور) داخلی	
۵	آقای دکتر محمد پسندیده فرد	دانشیار	استاد مدعو (داور) داخلی	
۶	آقای دکتر حبیب حکیم زاده	دانشیار	استاد مدعو (داور) خارجی	
۷	آقای دکتر هاشم شریعتمدار	دانشیار	نماینده تحصیلات تکمیلی	

## صفحه تعهد نامه

صفحه تعهد نامه به صورت زیر تهیه شده، به امضاء دانشجو می‌رسد:

### تعهد نامه

عنوان پایان نامه: شبیه سازی دو بعدی اندر کنش سیال و جسم جامد در پدیده های همزمان اسلامینگ و برخورد موج و سازه

اینجانب حسن ساقی دانشجوی دوره دکتری رشته مهندسی عمران - گرایش آب و هیدرولیک دانشکده مهندسی دانشگاه فردوسی مشهد تحت راهنمایی دکتر محمد جواد کتابداری متعدد می‌شوم:

- نتایج ارائه شده در این پایان نامه حاصل مطالعات علمی و عملی اینجانب بوده، مسئولیت صحت و اصالت مطالب مندرج را به طور کامل بر عهده می‌گیرم.
- در خصوص استفاده از نتایج پژوهش‌های محققان دیگر به مراجع مورد نظر استناد شده است.
- مطلوب مندرج در این پایان نامه را اینجانب یا فرد دیگری به منظور اخذ هیچ نوع مدرک یا امتیازی تاکنون به هیچ مرجعی تسلیم نکرده است.
- کلیه حقوق معنوی این اثر به دانشگاه فردوسی مشهد تعلق دارد. مقالات مستخرج از پایان نامه، ذیل نام دانشگاه فردوسی مشهد (Ferdowsi University of Mashhad) به چاپ خواهد رسید.
- حقوق معنوی تمام افرادی که در به دست آمدن نتایج اصلی پایان نامه تاثیر گذار بوده اند در مقالات مستخرج از رساله رعایت خواهد شد.
- در خصوص استفاده از موجودات زنده یا بافت‌های آنها برای انجام پایان نامه، کلیه ضوابط و اصول اخلاقی مربوطه رعایت شده است.

### تاریخ

نام و امضاء دانشجو

### مالکیت نتایج و حق نشر

کلیه حقوق معنوی این اثر و محصولات آن (مقالات مستخرج، برنامه های رایانه ای، نرم افزارها و تجهیزات ساخته شده) به دانشگاه فردوسی مشهد تعلق دارد و بدون اخذ اجازه کتبی از دانشگاه قابل واگذاری به شخص ثالث نیست.

استفاده از اطلاعات و نتایج این پایان نامه بدون ذکر مرجع مجاز نیست.

## چکیده

هدف از انجام رساله حاضر، شیوه سازی دوبعدی اندرکنش سیال و جسم شناور در پدیده های اسلامینگ و برخورد موج و سازه در دو حالت سیال ایده آل و لرج است. در حالت سیال ایده آل، پدیده اسلامینگ<sup>۱</sup> در یک مخزن مستطیلی مدلسازی و مدل برای مقاطع ذوزنقه ای با دیواره خطی و غیرخطی توسعه داده شده و مزایای مقاطع پیشنهادی در مقایسه با مقطع مستطیلی مورد بررسی قرار گرفت. در جهت مدلسازیهای فوق، از دو روش المان مرزی و اجزاء محدود جهت حل معادلات لاپلاس و شرط مرزی دینامیکی سطح آزاد استفاده شد. سپس، مدل عددی جهت مدلسازی اندرکنش موج و جسم شناور با استفاده از تئوری تفرق تهیه و با استفاده از نتایج ارائه شده توسط سایر محققین معتبرسازی شد. در حالت سیال لرج، معادلات پیوستگی و ناویر- استوکس<sup>۲</sup> به عنوان معادلات حاکم مورد استفاده قرار گرفت. جهت حل این معادلات از روش *SMAC*<sup>۳</sup> استفاده شد. به منظور مدلسازی سطح آزاد، از روش کسر حجمی که یکی از روشهای تسخیر حجمی در مدلسازی سطح آزاد است، استفاده شد. بدین منظور از الگوریتم یانگز<sup>۴</sup> و *FCT*<sup>۵</sup> که به ترتیب از روشهای موسوم به *PLIC*<sup>۶</sup> و *SLIC*<sup>۷</sup> هستند، استفاده شد. سپس، با استفاده از روابط تئوری امواج، موج منظم منظم خطی<sup>۸</sup>، غیرخطی تنها<sup>۹</sup> و موج نامنظم در یک مخزن موجساز عددی تولید شد. بدین منظور، ابتدا زیربرنامه مربوط به حل معادلات ناویر- استوکس تهیه و با استفاده از تستهای مبنایی همچون حفره<sup>۱۰</sup>، داکت و پله معتبرسازی شد. در ادامه، زیربرنامه مدل سازی سطح آزاد بر اساس روش کسر حجمی<sup>۱۱</sup> (*VOF*) تهیه و به کمک تستهای مبنایی همچون انتقال، برش و دوران معتبرسازی شد. در نهایت، با ترکیب زیربرنامه های فوق، مدل مربوط به شبیه سازی جريان سطح آزاد تهیه و با استفاده از تست شکست سد<sup>۱۲</sup> معتبرسازی شد. در این مرحله، با تغییر شرایط اولیه و مرزی در محدوده مورد مطالعه و اضافه نمودن زیربرنامه مربوط به تولید موج در مرز ورودی و نیز شرط مرزی باز در انتهای محدوده جهت خروج امواج تولیدی،

<sup>1</sup> Sloshing

<sup>2</sup> Navier- Stokes Equations (NSE)

<sup>3</sup> Simplified Marker And Cell

<sup>4</sup> Youngs

<sup>5</sup> Flux Corrected Transport

<sup>6</sup> Piecewise Linear Interface Construction

<sup>7</sup> Simple Line Interface Construction

<sup>8</sup> Airy

<sup>9</sup> Solitary

<sup>10</sup> Cavity

<sup>11</sup> Volume Of Fluid (VOF)

<sup>12</sup> Breaking Dam

موج مورد نظر تولید و به کمک روابط تئوری امواج معتبرسازی شدند. در ادامه، اندرکنش جسم شناور و موج با استفاده از تکنیک حوزه حل مجازی مورد بررسی قرار گرفت.

در این تحقیق، علاوه بر ارائه مدل‌های اصلاح شده سطح آزاد شامل مدل  $MYVM^{13}$  و  $MFCT^{14}$ ، روش‌های جدیدی نیز جهت محاسبه انحنای سطح آزاد ارائه و دقت آنها در مقایسه با روش متداولی که با استفاده از روش VOF محاسبه می‌شود مورد بحث قرار گرفته است. همچنین مقطع ذوزنقه‌ای جهت طراحی مخازن پیشنهاد و عملکرد آن در مقایسه با مخازن مستطیلی و در مواجهه با پدیده اسلامشینگ برسی و مزایای آن مورد بحث قرار گرفته است. در ادامه، مدل عددی به منظور تولید امواج منظم، تنها و نامنظم<sup>15</sup> تهیه و نتایج مدل با روابط تئوری امواج معتبرسازی شد. در نهایت، تکنیک حوزه حل مجازی جهت شبیه سازی برخورد موج و سازه مورد استفاده قرار گرفت.

**کلمات کلیدی:** پدیده اسلامشینگ، کوپل روش المان مرزی-اجزاء محدود، کوپل اثر موج-اسلامشینگ، مخازن ذوزنقه‌ای، مخزن موجساز عددی، روش حوزه حل مجازی.

---

<sup>13</sup> Modified Youngs VOF Method

<sup>14</sup> Modified Flux Corrected Transport

<sup>15</sup> Numerical Wave Tank (NWT)

حال که با الطاف حضرت حق، انجام این رساله بـ دیلـان رسیده است، خدای را شکر کم که این فرصت را داشتیار من قرار داد تا انتخـار این را داشته باشم که در محضر استاد کـرـاتـورـ جـنـابـ آـقـایـ دـکـترـ کـتابـارـیـ، عـلـاوـهـ بـرـآـشـانـیـ باـاصـولـ تـحـقـیـقـ، درـسـ زـنـگـیـ، صـبـوـ تـلاـشـ وـپـیـارـیـ رـایـادـ بـکـرـیـمـ. عـشـتـ بـتـحـقـیـقـ رـایـادـ بـکـرـیـمـ. یـادـ بـکـرـیـمـ تـلاـشـ وـپـیـارـیـ تـحـقـیـقـ کـامـ درـسـیدـنـ بـهـرـهـفـ مـعـدـسـیـ اـسـتـ. اـزـ خـداـونـدـ مـتـعـالـ مـیـ خـواـهمـ اـنـتـخـارـ رـابـهـ مـنـ بـهـدـتـادـ مـحـیـطـ مـعـدـسـ دـانـشـاـهـ وـدـعـصـهـ تـحـقـیـقـ بـوـانـمـ شـکـرـدـ خـلـفـیـ بـرـایـ اـنـ اـسـتـاـبـرـگـوـارـ بـاـشـمـ. هـچـنـیـنـ اـزـ جـنـابـ آـقـایـ دـکـترـ رـوزـبـهـ پـاهـیـ بـایـتـ رـاهـنـمـایـ اـرـزـنـدـ شـانـ شـکـرـمـیـ نـایـمـ. اـزـ تـامـیـ اـسـتـاـیدـ عـزـیـزـیـ نـیـزـ کـهـ دـوـرـانـ تـحـصـیـلـ مـرـاعـمـ آـمـوـخـنـدـ قـرـدـانـیـ مـیـ نـایـمـ.

دـیـلـانـ اـزـ هـسـرـ عـزـیـزـ وـ دـخـرـگـمـ غـلـ جـانـ کـهـ دـوـرـانـ تـحـصـیـلـ مـرـاجـرـایـ نـمـودـهـ وـبـاـجـوـدـ تـامـیـ مـسـكـلـاتـ وـکـمـودـهـ مـرـاـپـسـیـانـ نـمـودـنـ شـکـرـ وـ قـرـدـانـیـ مـیـ کـنـمـ. بـیـ شـکـ بـدـونـ جـایـتـایـ آـنـاـ اـنـجـامـ اـیـنـ کـارـ مـعـنـ نـبـودـ.

## فهرست مطالب

### شماره

### صفحه

#### فصل اول: مقدمه

مقدمه

۱

۲

۲

۵

۵

۶

۹

۱- پدیده اسلامشنگ

۲- بروارد موج و سازه

۳- تحقیقات انجام گرفته تاکنون

۱-۳-۱- تحقیقات انجام گرفته در مورد پدیده اسلامشنگ

۱-۲-۳-۱- تحقیقات انجام گرفته در مورد بروارد موج و سازه

۴- شرح مسئله و فرضیات به کار رفته

#### فصل دوم: مدل‌های ریاضی

مقدمه

۱۰

۱۰

۱۰

۱۸

۲۴

۲۵

۲۶

۳۰

۳۱

۳۲

۳۵

۳۷

۳۷

۳۹

۴۸

۴۹

۴۹

۵۱

۱-۱- مدل ریاضی با فرض سیال ایده آل

۱-۱-۱- مدل عددی جهت بررسی بروارد موج و سازه شناور- تئوری تفرق

۱-۱-۲- مدل عددی جهت بررسی پدیده اسلامشنگ در حالت سیال ایده آل

۱-۱-۳- مدل عددی جهت بررسی اثر همزمان موج و اسلامشنگ بر روی مخزن شناور مهار شده در حالت سیال ایده آل

۲-۱- مدل عددی سیال لرج

۲-۱-۱- زیربرنامه حل معادلات ناویر- استوکس

۲-۱-۲- زیربرنامه مدل‌سازی سطح آزاد

FCT ۱-۲-۱- روش

۲-۱-۲-۲- روش Youngs

۲-۱-۳-۲-۲- مدل‌سازی جریانهای سطح آزاد

۲-۱-۳-۲-۲- ارائه روشی نوین جهت محاسبه انحنای در جریانات سطح آزاد

۲-۱-۳-۲-۲-۱- روش کسر حجمی جهت محاسبه انحنای سطح آزاد

۲-۱-۳-۲-۲-۲- روش پارامتریک جهت محاسبه انحنای سطح آزاد (روش پیشنهادی)

۲-۱-۴-۲-۲- تولید امواج خطی و غیرخطی

۲-۱-۴-۲-۲-۱- تولید امواج خطی

۲-۲-۴-۲-۲- تولید موج تنها

۲-۲-۴-۲-۲-۵- شبیه سازی جسم شناور در داخل محدوده سیال

#### فصل سوم: نتایج شبیه سازی برای پدیده اسلامشنگ

مقدمه

۵۴

۵۸

۶۲

۱-۱- مخازن ذوزنقه ای با دیواره خطی و عرض ثابت

۱-۲- مخازن ذوزنقه ای با دیواره غیرخطی

۶۴	۳-۳- مقطع ذوزنقه‌ای با دیواره خطی و عرض متغیر
۶۴	۴-۴- مخازن مستطیلی با نسبت ابعاد بهینه
۷۵	۵-۵- بررسی تأثیر مشخصات حرکت مخزن در پدیده اسلامینگ
۷۵	۳-۱-۵- دامنه حرکت مخزن
۷۷	۳-۲-۵- فرکانس حرکت مخزن

## فصل چهارم: نتایج شبیه سازی برخورد موج و سازه

۸۲	مقدمه
۸۲	۱-۱- نتایج مدل سیال ایده آل
۸۲	۱-۱-۱- شبیه سازی برخورد موج و سازه
۸۶	۱-۱-۲- اثر همزمان موج و اسلامینگ بر روی مخزن شناور مهار شده
۹۰	۱-۲- نتایج مدل سیال لزج
۹۰	۱-۲-۱- تولید موج با استفاده از مخزن موجساز عددی
۹۲	۱-۲-۲-۴- تولید موج منظم
۹۴	۱-۲-۳- تولید موج منفرد
۹۶	۱-۲-۴- تولید موج نامنظم
۹۸	۱-۲-۵- شبیه سازی برخورد موج و سازه شناور

## فصل پنجم: نتیجه گیری و ارائه پیشنهادات

۱۰۳	مقدمه
۱۰۳	۱-۱- نتایج به دست آمده از مدل سیال ایده آل
۱۰۴	۱-۲- نتایج به دست آمده از مدل سیال لزج
۱۰۶	۱-۳- ارائه پیشنهادات جهت ادامه تحقیقات

## مراجع

پیوست: معتبرسازی مدلهاي عددی

## فهرست شکلها

### شماره صفحه

۴	شکل ۱-۱: استفاده از شبکه نامنظم جهت مدلسازی حرکت یک جسم در داخل سیال
۱۰	شکل ۱-۲: حرکت یک جسم سه بعدی در درجات آزادی مختلف
۱۱	شکل ۲-۱: شکل شماتیک جسم شناور مهار شده
۱۴	شکل ۲-۲: المانهای به کار رفته جهت مدلسازی مرز ناحیه حل
۱۵	شکل ۲-۳: تعریف پارامترهای بکار رفته در المانهای خطی در تحلیل معادله لاپلاس
۲۳	شکل ۲-۴: موقعیت گره های مختلف جهت محاسبه تابع پتانسیل و جابجایی سطح آزاد در مدلسازی پدیده اسلامشینگ
۲۷	شکل ۲-۵: نمونه ای از شبکه های مورد استفاده جهت گسترش سازی معادلات ناویر- استوکس (الف) شبکه منظم (ب) شبکه نامنظم
۲۷	شکل ۲-۶: نمونه ای از شبکه های مورد استفاده جهت گسترش سازی معادلات ناویر- استوکس (الف): شبکه جابجا شده ب: شبکه مت مرکز
۲۸	شکل ۲-۷: شبکه موردنظر استفاده جهت گسترش سازی و حل معادلات ناویر- استوکس
۳۱	شکل ۲-۸: حالت های مختلف سطح آزاد در روش FCT
۳۲	شکل ۲-۹: حالت های مختلف سطح آزاد در روش Youngs
۳۳	شکل ۲-۱۰: مقدار فلکس عبوری از وجه سمت راست سلول برای حالت نشان داده شده (محدوده دو هاشوره)
۳۴	شکل ۲-۱۱: محاسبه سرعت در مرکز ثقل سیال جهت محاسبه فلکس در روش MYVM
۳۹	شکل ۲-۱۲: مدلسازی سطح آزاد در روش چهار نقطه ای
۴۲	شکل ۲-۱۳: مدلسازی سطح آزاد در روش سه خطی
۴۴	شکل ۲-۱۴: دایره و شبکه بندی انجام شده جهت محاسبه انحنای در سلولهای سطحی
۴۴	شکل ۲-۱۵: مقایسه انحنای به دست آمده برای دایره با استفاده از روش های مختلف و ابعاد مختلف شبکه:
۴۵	شکل ۲-۱۶: مقایسه معيارهای خطای برای روش های مختلف جهت محاسبه انحنای در دایره
۴۵	شکل ۲-۱۷: مقایسه معيارهای خطای برای روش های مختلف جهت محاسبه انحنای در دایره
۴۵	شکل ۲-۱۸: بیضی و شبکه بندی انجام شده جهت محاسبه انحنای در سلولهای سطحی
۴۶	شکل ۲-۱۹: مقایسه انحنای به دست آمده برای سطح بیضی با استفاده از روش های مختلف و ابعاد مختلف شبکه: (الف) ۰/۰۵ متر، (ب) ۱/۰۵ متر، (ج) ۱/۱۵ متر و (د) ۰/۲ متر
۴۷	شکل ۲-۲۰: مقایسه معيارهای خطای برای روش های مختلف جهت محاسبه انحنای در بیضی
۴۷	شکل ۲-۲۱: مقایسه انحنای به دست آمده برای منحنی سینوسی با استفاده از روش های مختلف
۵۴	شکل ۳-۱: جابجایی سطح آزاد در محل تماس با دیواره سمت راست به ازاء طولهای مختلف شبکه
۵۵	شکل ۳-۲: جابجایی سطح آزاد در محل تماس با دیواره سمت راست به ازاء گامهای زمانی مختلف
۵۵	شکل ۳-۳: مقایسه نتایج مدل عددی تهیه شده برای بررسی پدیده اسلامشینگ با نتایج ارائه شده توسط ناکایاما و واشیزو
۵۶	شکل ۳-۴: وضعیت سطح سیال در پدیده اسلامشینگ در زمانهای مختلف
۵۷	شکل ۳-۵: مخازن ذوزنقه ای با دیواره: (الف) خطی، (ب) غیر خطی
۵۷	شکل ۳-۶: چیدمان مخازن ذوزنقه ای با دیواره خطی و غیر خطی

- شکل ۷-۳: جابجایی گره قرار گرفته بر روی سطح آزاد (الف)  $X = 0.002 \sin(5.5t), \theta = 90^\circ$  ب)  
 (د)  $X = 0.004 \sin(5.5t), \theta = 95^\circ$  ج)  $X = 0.002 \sin(5.5t), \theta = 75^\circ$   
 (د)  $X = 0.004 \sin(5.5t), \theta = 70^\circ$
- شکل ۸-۳: حداکثر جابجایی سطح آزاد در پدیده اسلامینگ برای حالت‌های مختلف
- شکل ۹-۳: توزیع فشار بر روی مخزن (الف)  $X = 0.002 \sin(5.5t), \theta = 90^\circ$  ب)  
 (د)  $X = 0.004 \sin(5.5t), \theta = 95^\circ$  ج)  $X = 0.002 \sin(5.5t), \theta = 65^\circ$   
 (د)  $X = 0.004 \sin(5.5t), \theta = 65^\circ$
- شکل ۱۰-۳: حداکثر مقدار فشار وارد بر مخزن در پدیده اسلامینگ به ازای مقادیر مختلف  $\theta$
- شکل ۱۱-۳: نیروی وارد بر مخزن (الف)  $X = 0.002 \sin(5.5t), \theta = 90^\circ$  ب)  
 (د)  $X = 0.004 \sin(5.5t), \theta = 95^\circ$  ج)  $X = 0.002 \sin(5.5t), \theta = 65^\circ$   
 (د)  $X = 0.004 \sin(5.5t), \theta = 65^\circ$
- شکل ۱۲-۳: حداکثر نیروی وارد بر بدنه مخزن در پدیده اسلامینگ به ازای مقادیر مختلف  $\theta$
- شکل ۱۳-۳: توزیع فشار بر روی مخزن با دیواره غیرخطی با پارامتر  $a=-12$
- شکل ۱۴-۳: حداکثر فشار وارد بر مخزن با دیواره غیرخطی به ازای مقادیر مختلف پارامتر  $a$
- شکل ۱۵-۳: توزیع فشار بر روی محیط مخزن در حالت‌های مختلف: (الف)  $B=1.1m, \theta=115^\circ$  ب)  
 (د)  $B=1.2m, \theta=115^\circ$  ج)  $B=1.1m, \theta=65^\circ$  د)  $B=1.2m, \theta=65^\circ$  ه)  $B=1.3m, \theta=115^\circ$  و)  $B=1.3m, \theta=65^\circ$
- شکل ۱۶-۳: حداکثر فشار بر روی مخزن به ازای مقادیر مختلف عرض مخزن
- شکل ۱۷-۳: توزیع فشار بر روی بدنه مخزن با حجم  $0.772\text{ m}^3$  مترمکعب به ازاء نسبت‌های مختلف ابعاد
- شکل ۱۸-۳: توزیع فشار بر روی بدنه مخزن با حجم  $1/50\text{ m}^3$  مترمکعب به ازاء نسبت‌های مختلف
- شکل ۱۹-۳: مقایسه معیار  $P_{max}^*$  مخزن با حجم  $0.772\text{ m}^3$  مترمکعب بر اساس نسبت ابعاد مختلف مخزن
- شکل ۲۰-۳: مقایسه معیار  $P_{max}^*$  مخزن با حجم  $1/50\text{ m}^3$  مترمکعب بر اساس نسبت ابعاد مختلف مخزن
- شکل ۲۱-۳: توزیع فشار بر روی بدنه مخزن مستطیلی با عرض  $7/0\text{ m}$  و ارتفاع  $2/00\text{ m}$  تحت حرکت اجرایی افقی به صورت  $X = A \sin(5.5t)$  به ازاء مقادیر مختلف دامنه: a)  $0.001\text{ m}$ ; b)  $0.0015\text{ m}$ ; c)  $0.004\text{ m}$ ; d)  $0.005\text{ m}$
- شکل ۲۲-۳: نیروی وارد بر بدنه مخزن مستطیلی با عرض  $7/0\text{ m}$  و ارتفاع  $2/00\text{ m}$  تحت حرکت اجرایی افقی به صورت  $X = A \sin(5.5t)$  به ازاء مقادیر مختلف دامنه: a)  $0.001\text{ m}$ ; b)  $0.0015\text{ m}$ ; c)  $0.004\text{ m}$ ; d)  $0.005\text{ m}$
- شکل ۲۳-۳: حداکثر فشار بر روی بدنه مخزن مستطیلی با عرض  $7/0\text{ m}$  و ارتفاع  $2/00\text{ m}$  تحت حرکت اجرایی افقی به صورت  $X = A \sin(5.5t)$  به ازاء مقادیر مختلف دامنه
- شکل ۲۴-۳: حداکثر نیروی وارد بر بدنه مخزن مستطیلی با عرض  $7/0\text{ m}$  و ارتفاع  $2/00\text{ m}$  تحت حرکت اجرایی افقی به صورت  $X = A \sin(5.5t)$  به ازاء مقادیر مختلف دامنه
- شکل ۲۵-۳: توزیع فشار بر روی بدنه مخزن مستطیلی با عرض  $7/0\text{ m}$  و ارتفاع  $2/00\text{ m}$  تحت حرکت اجرایی افقی به صورت  $X = 0.002 \sin(\omega t)$  به ازاء مقادیر مختلف فرکانس زاویه‌ای:  
 a)  $\omega = 1\text{ rad/sec}$ ; b)  $\omega = 3\text{ rad/sec}$ ; c)  $\omega = 5\text{ rad/sec}$ ; d)  $\omega = 6\text{ rad/sec}$
- شکل ۲۶-۳: نیروی وارد بر بدنه مخزن مستطیلی با عرض  $7/0\text{ m}$  و ارتفاع  $2/00\text{ m}$  تحت حرکت اجرایی

$$X = 0.002 \sin(\omega t) \quad \text{a) } \omega = 1 \text{ rad/sec} ; \text{ b)}$$

$$\omega = 3 \text{ rad/sec} ; \text{ c) } \omega = 5 \text{ rad/sec} ; \text{ d) } \omega = 6 \text{ rad/sec}$$

شکل ۲۷-۳: حداکثر فشار بر روی بدنه مخزن مستطیلی با عرض ۰/۷ متر و ارتفاع ۰/۲۰۰ متر تحت حرکت

$$X = A \sin(5.5t) \quad \text{به ازاء مقادیر مختلف فرکانس زاویه ای}$$

شکل ۲۸-۳: حداکثر نیروی وارد بر بدنه مخزن مستطیلی با عرض ۰/۷ متر و ارتفاع ۰/۲۰۰ متر تحت حرکت

$$X = A \sin(5.5t) \quad \text{به ازاء مقادیر مختلف فرکانس زاویه ای}$$

شکل ۲۹-۳: توزیع فشار بر روی محیط مخزن در حالت‌های مختلف: (الف)

$$(ج) \quad X = 0.002 \sin(5.5t)\theta = 70^\circ \quad (ب) \quad X = 0.002 \sin(5.5t)\theta = 110^\circ$$

$$(د) \quad X = 0.003 \sin(5.5t)\theta = 70^\circ \quad (ه) \quad X = 0.003 \sin(5.5t)\theta = 110^\circ$$

$$X = 0.004 \sin(5.5t)\theta = 70^\circ \quad (و) \quad X = 0.004 \sin(5.5t)\theta = 110^\circ$$

شکل ۳۰-۳: حداکثر فشار بر روی بدنه مخزن به ازاء مقادیر مختلف دامنه حرکت

شکل ۳۱-۳: درصد کاهش فشار حداکثر وارد بر مخزن برای مقادیر مختلف دامنه حرکت و به ازاء مقادیر مختلف زاویه جانبی مخزن ذوزنقه ای

شکل ۳۲-۳: توزیع فشار بر روی محیط مخزن در حالت‌های مختلف: (الف)

$$(ج) \quad X = 0.002 \sin(3.0t)\theta = 70^\circ \quad (ب) \quad X = 0.002 \sin(3.0t)\theta = 110^\circ$$

$$(د) \quad X = 0.002 \sin(5.5t)\theta = 70^\circ \quad (ه) \quad X = 0.002 \sin(5.5t)\theta = 110^\circ$$

$$X = 0.002 \sin(7.0t)\theta = 70^\circ \quad (و) \quad X = 0.002 \sin(7.0t)\theta = 110^\circ$$

شکل ۳۳-۳: حداکثر فشار بر روی بدنه مخزن به ازاء مقادیر مختلف فرکانس حرکت

شکل ۳۴-۳: درصد کاهش فشار حداکثر وارد بر مخزن برای مقادیر مختلف فرکانس حرکت و به ازاء مقادیر مختلف زاویه جانبی مخزن ذوزنقه ای

شکل ۳۵-۳: تاریخچه نیروی وارد بر بدنه مخزن ذوزنقه ای با زاویه جانبی ۶۵ درجه، عرض ۰/۲ متر و ارتفاع

$$X = 0.002 \sin(5.5t) \quad ۰/۶ \text{ متر تحت حرکت نوسانی}$$

شکل ۴-۱: مقایسه نتایج مدل و مقادیر ارائه شده توسط Sannasiraj و همکاران در محاسبه RAO

شکل ۴-۲: مقایسه نتایج مدل و مقادیر ارائه شده توسط Sannasiraj و همکاران در محاسبه Heave RAO

شکل ۴-۳: مقایسه نتایج مدل و مقادیر ارائه شده توسط Sannasiraj و همکاران در محاسبه Roll RAO

شکل ۴-۴: حرکت قائم مخزن (Heave RAO) به ازاء مقادیر مختلف نسبت ابعاد مخزن

شکل ۴-۵: حرکت قائم مخزن (Sway RAO) به ازاء مقادیر مختلف نسبت ابعاد مخزن

شکل ۴-۶: حرکت قائم مخزن (Roll RAO) به ازاء مقادیر مختلف نسبت ابعاد مخزن

شکل ۴-۷: بررسی اثر همزمان موج و اسلامینگ بر روی حرکت افقی (Sway) یک مخزن مستطیلی شناور

شکل ۴-۸: بررسی اثر همزمان موج و اسلامینگ بر روی حرکت قائم (Heave) یک مخزن مستطیلی شناور

شکل ۴-۹: طیف انرژی حرکت قائم مخزن مستطیلی شناور با ابعاد مختلف ناشی از اثر همزمان موج و اسلامینگ

شکل ۴-۱۰: مقایسه میزان جابجایی افقی (Sway) مخازن مستطیلی و ذوزنقه ای شناور ناشی از اثر همزمان

## موج و اسلامشینگ

- شکل ۱۱-۴: مقایسه میزان جابجایی قائم (Heave) مخازن مستطیلی و ذوزنقه ای شناور ناشی از اثر همزمان موج و اسلامشینگ  
شکل ۱۲-۴: طیف انرژی حرکت قائم مخازن مستطیلی و ذوزنقه ای شناور ناشی از اثر همزمان موج و اسلامشینگ  
شکل ۱۳-۴: شبکه متغیر با کلاستر موضعی جهت تولید موج در مخزن موجساز عددی  
شکل ۱۴-۴: شبکه متغیر با تغییرات تدریجی ابعاد شبکه جهت تولید موج در مخزن موجساز عددی  
شکل ۱۵-۴: بررسی استقلال از شبکه نتایج مدل جهت تولید موج خطی در مخزن موجساز عددی  
شکل ۱۶-۴: مقایسه الگوریتمهای مختلف VOF جهت تولید موج منظم  
شکل ۱۷-۴: مقایسه نتایج مدل جهت تولید موج خطی با استفاده از شبکه کلاستر شده موضعی و به ازاء مقادیر مختلف LCC  
شکل ۱۸-۴: مقایسه نتایج مدل جهت تولید موج خطی با استفاده از شبکه متغیر با تغییرات تدریجی و به ازاء مقادیر مختلف SRC  
شکل ۱۹-۴: بررسی استقلال از شبکه نتایج مدل جهت تولید موج تنها  
شکل ۲۰-۴: مقایسه نتایج مدل جهت تولید موج تنها با استفاده از شبکه کلاستر شده موضعی  
شکل ۲۱-۴: مقایسه نتایج مدل جهت تولید موج تنها با استفاده از شبکه متغیر با تغییرات تدریجی و به ازاء مقادیر مختلف ECC  
شکل ۲۲-۴: پروفیل موج نامنظم تولیدی به کمک مخزن موجساز عددی براساس طیف JONSWAP  
شکل ۲۳-۴: مقایسه طیف موج نامنظم تولیدی به کمک مخزن موجساز عددی به کمک طیف JONSWAP و مقایسه آن با طیف اصلی  
شکل ۲۴-۴: بررسی اعتبار مدل عددی تهیه شده در پیش بینی جابجایی افقی مخزن شناور  
شکل ۲۵-۴: بررسی اعتبار مدل عددی تهیه شده در پیش بینی قائم مخزن شناور  
شکل ۲۶-۴: حرکت قائم (Heave) جسم شناور با ابعاد مختلف ناشی از برخورد موجی به ارتفاع ۳ سانتیمتر و طول موج ۲/۸ متر  
شکل ۲۷-۴: حرکت قائم (Heave) جسم شناور با ابعاد مختلف ناشی از برخورد موجی به ارتفاع ۴ سانتیمتر و طول موج ۲/۸ متر  
شکل ۲۸-۴: حرکت قائم (Heave) جسم شناور با ابعاد ۲۰ سانتیمتر عرض، ۳۰ سانتیمتر ارتفاع کل و ۱۵ سانتیمتر ارتفاع آبخور ناشی از برخورد موجی به ارتفاعات مختلف  
شکل ۲۹-۴: حرکت قائم (Heave) جسم شناور با ابعاد ۲۰ سانتیمتر عرض، ۳۰ سانتیمتر ارتفاع کل و ۱۵ سانتیمتر ارتفاع آبخور ناشی از برخورد موجی با ارتفاع ۴ سانتیمتر، طول موج ۲/۸ متر و به ازاء مهارهای با سختی های مختلف

## فهرست جداولها

### شماره صفحه

۲۳	جدول ۱-۱: موقعیت گره ها جهت محاسبه پارامترهای مختلف
۳۲	جدول ۲-۲: محاسبه سرعت در مرکز ثقل سیال در داخل سلول جهت محاسبه فلاکس در روش MFCT
۳۵	جدول ۳-۲: محاسبه سرعت در مرکز ثقل سیال در داخل سلول جهت محاسبه فلاکس در روش MYVM
۴۸	جدول ۴-۲: مقایسه معیارهای خطاب برای روشهای مختلف جهت محاسبه انحنای در منحنی سینوسی
۶۶	جدول ۳-۱: ابعاد مخزن مستطیلی بر اساس نسبت ابعاد و حجم مخزن جهت مدلسازی پدیده اسلاشینگ در مخازن مستطیلی با نسبت ابعاد مختلف
۸۳	جدول ۴-۱: مشخصات مخزن مورد استفاده جهت معتبرسازی مدل تهیه شده جهت مدلسازی اندرکنش موج و جسم شناور به روش تئوری تفرق بر اساس نتایج مدل آزمایشگاهی
۸۵	جدول ۴-۲: مشخصات مخازن شناور مهار شده جهت آنالیز حساسیت مدل تهیه شده در مقابل ابعاد مخزن
۹۳	جدول ۴-۳: مقایسه معیارهای خطاب برای الگوریتمهای مختلف مدلسازی سطح آزاد در تولید موج منظم
۹۴	جدول ۴-۴: مقایسه معیارهای خطاب برای شبکه های مختلف جهت تولید موج خط
۹۵	جدول ۴-۵: مقایسه معیارهای خطاب برای شبکه های مختلف جهت تولید موج تنها
۹۷	جدول ۴-۶: شبکه های مورد استفاده جهت تولید موج نامنظم

## فصل اول: مقدمه

### مقدمه

بشر از دیرباز، دریاها و اقیانوس‌ها را به عنوان منابع عظیم انرژی شناخته و برای استفاده از آنها به ساخت سازه‌های دریائی نموده است؛ به طوریکه می‌توان گفت، عمر سازه‌های دریائی معادل قدمت تمدن بشر است. کشتی، اولین سازه دریائی است که انسان برای حمل و نقل، تجارت و جنگ‌های دریائی از آن استفاده می‌نمود. برای پهلوگیری کشتی‌ها در ناحیه ساحلی و در محیطی آمن، انواع موج‌شکن‌ها ابداع و ساخته شد. با افزایش جمعیت و نیاز بشر به انرژی بیشتر، استخراج نفت و گاز از دل دریاها و اقیانوس‌ها ضرورت پیدا کرد. به همین دلیل، تکنولوژی طرح و ساخت سازه‌های فراساحلی در چند دهه گذشته با سرعت زیادی پیشرفت نمود؛ به طوری که در حال حاضر می‌توان به کمک سکوهای شناور خاص، عملیات اکتشاف و استخراج نفت و گاز را تا اعماق چندهزار متر از سطح دریا انجام داد.

دریاها و اقیانوس‌ها دارای شرایط محیطی خاصی بوده و شناخت بهتر این شرایط، تأثیر بسزایی در طراحی و اجرای بهینه سازه‌های فراساحلی دارد. سازه‌های دریائی، دور از ساحل ساخته می‌شوند. بنابراین عملکرد آنها می‌بایست مستقل و با حداقل اتكا به زیرساخت‌های ساحلی باشد. لذا در طراحی اینگونه سازه‌ها می‌بایست شرایط محیطی به صورت دقیق بررسی شود تا بتوان رفتار سازه دریائی را در چنین شرایطی به خوبی پیش‌بینی نمود. یکی از معیارهای بسیار مهم در طراحی سازه‌های دریائی، ارضاء

دریامانی<sup>۱۶</sup> در شرایط مختلف محیطی دریا است تا سازه با حداقل جابجایی نسبت به موقعیت اولیه خود، بتواند مورد بهره‌برداری قرار گیرد. بررسی پدیده اسلامینگ ناشی از حرکت سیال در داخل مخازن شناور و کشتی های حمل سوخت و نیز اثر برخورد موج به سازه، دو عامل مهم در طراحی این سازه ها است. لذا در ادامه این دو پدیده اسلامینگ و برخورد موج و سازه مورد بررسی قرار می گیرد.

---

<sup>16</sup> Sea keeping

## ۱-۱- پدیده اسلامشینگ

اسلامشینگ، پدیده‌ای است که در آن مخزن حاوی سیال با شتاب خطی و یا زاویه‌ای شروع به حرکت کرده و نوساناتی در سطح آزاد بوجود می‌آورد. در این شرایط، نیرویی از طرف مخزن به سیال و متقابلاً از طرف سیال به مخزن وارد و باعث افزایش فشار در بدنه آن می‌شود. این پدیده در بسیاری از وسایل نقلیه شامل تانکرهای حامل سوخت، قطارهای حامل مواد شیمیائی، نفت کش‌های، موشک‌های سوخت مایع و فضا پیماها، مخازن نگهداری مایعات که تحت اثر زلزله قرار می‌گیرند و در سدها و رآکتورها و مخازن نیروگاههای هسته‌ای اتفاق می‌افتد و در صورت عدم بررسی دقیق این پدیده می‌تواند اثرات محربی داشته باشد. بررسی پدیده اسلامشینگ، کاربرد زیادی در مطالعه پایداری پایداری سازه‌های متحرک و یا مخازن تحت تأثیر محرک‌های خارجی در رشتہ‌های مختلف مهندسی شامل مهندسی عمران، مکانیک، هوا فضا و مهندسی دریا دارد [1]. از آنجمله می‌توان به بررسی تأثیرات زلزله بر پایداری و ایمنی مخازن ذخیره سوخت در پالایشگاهها [2] و یا دینامیک تلاطم در مخازن سوخت و یا خنک کننده فضایپماها به عنوان عاملی بسیار مهم بر دقت عملکرد و مسیریابی سیستم‌های کنترلی آنها اشاره نمود [3].

## ۲-۱- برخورد موج و سازه

برخورد جسم جامد و سیال از جمله مسائلی است که سالها مورد مطالعه و بررسی محققین بوده است. بررسی این پدیده در مسائل مختلفی همانند رسوب اجسام جامد معلق در سیالات، معلق سازی اجسام جامد رسوب کرده، جابجایی اجسام جامد توسط سیال، طراحی هوایپما و شناور دارای کاربردهای فراوانی است [4]. در مدلسازی اندرکنش جسم جامد و سیال سه حالت مختلف قابل بررسی است [4]. تأثیرگذاری یک طرفه جسم جامد به سیال، تأثیرگذاری یک طرفه سیال به جسم جامد و تأثیرگذاری متقابل جسم جامد و سیال. در تأثیرگذاری یک طرفه جسم جامد به سیال، مکان و حرکت جسم جامد از پیش تعیین شده است. حرکت کشته در دریا و یا عبور جریان رودخانه از اطراف پایه‌های یک پل نمونه‌هایی از این پدیده هستند. در شرایطی مشخصات جسم جامد که در برخورد با سیال است، تأثیری بر روی مشخصات جریان شامل سرعت نداشته باشد، تأثیرگذاری یک طرفه سیال به جامد را خواهیم داشت. به عنوان مثال در صورتیکه ابعاد جسم شناور در برخورد با موج در مقایسه با طول موج از مقدار مشخصی کمتر باشد، می‌توان از تأثیر جسم بر روی مشخصات موج صرفنظر نمود [5]. اما در شرایطی که جسم جامد و جریان سیال هر دو در مشخصه‌های یکدیگر تغییر ایجاد نمایند، تأثیرگذاری متقابل سیال و جامد را خواهیم داشت. برخورد موج با اجسام شناور با ابعاد بزرگ نمونه‌ای از اینگونه مسائل هستند. به منظور مدلسازی برخورد موج و سازه، در برخی موارد می-

توان از اثرات بعضی از ترم ها صرفنظر نمود. به عنوان مثال در صورتیکه ابعاد جسم در مقایسه با طول موج از مقدار مشخصی بیشتر باشد [5]، می توان از اثرات ویسکوزیته صرفنظر نموده و معادله لاپلاس را به عنوان معادله حاکم مورد استفاده قرار داد. در مدلسازی های انجام شده با استفاده از جریان پتانسیل [6-8] ناحیه جدایش وجود ندارد و این امر تأثیر زیادی بر شرایط حاکم بر سیال در محدوده مورد مطالعه دارد. زیرا وجود ناحیه جدایش در پشت جسم جامد همواره با افت فشار همراه بوده و بر مسیر حرکتی اجسام جامد دیگر تأثیر می گذارد [4]. در برخی موارد، در صورتیکه ابعاد جسم در مقایسه مقیاس سیال کوچک باشد می توان جسم را ذره فرض نمود و تنها تأثیر سیال بر روی جسم را مد نظر قرار داد. در این شرایط موقعیت جسم بر اساس سرعت سیال محاسبه می شود [4,9].

برای مدلسازی دقیق برخورد موج و جسم شناور، معادلات ناویر-استوکس و قانون نیوتون، به عنوان معالات حاکم بر حرکت سیال و جسم، به طور همزمان حل می شوند. این معادلات بر اساس شرایط مرزی سینماتیکی<sup>۱۷</sup> (شرط مرزی عدم لغزش روی جسم جامد)، شرط مرزی دینامیکی<sup>۱۸</sup> (یکسان بودن مقادیر نیروهای هیدرودینامیکی وارده از سیال به جسم جامد و عکس العمل این نیروها) به یکدیگر کوپل شده اند.

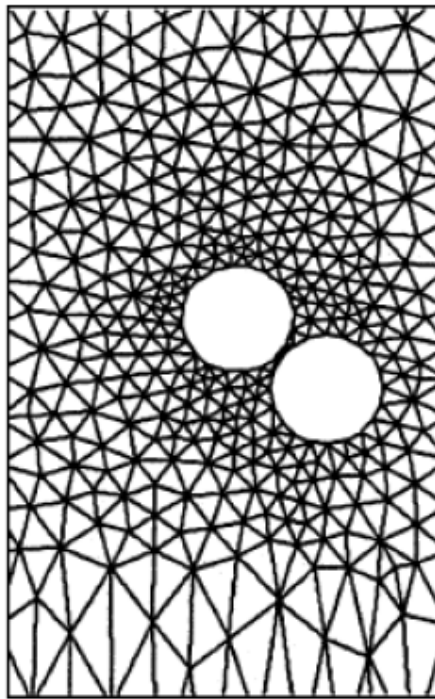
محاسبه نیروهای هیدرودینامیکی وارده از سیال به جسم جامد و عکس العمل آنها در هنگام حل معادلات حاکم یکی از مشکلات اصلی در مدلسازی اندرکنش جسم جامد و سیال است [4]. لذا محققین به بررسی روش‌هایی جهت ساده نمودن مدلسازی‌ها بدون نیاز به محاسبه مستقیم این نیرو پرداخته اند که در ادامه روش‌های مختلف مدلسازی مورد بررسی قرار می گیرد. به طور کلی مدلسازی های عددی به دو دسته کلی روش شبکه بندي نامنظم<sup>۱۹</sup> و روش حوزه حل مجازی<sup>۲۰</sup> تقسیم بندي می شود. در روش شبکه بندي نامنظم حوزه حل فقط شامل ناحیه سیال بود و ناحیه داخل جسم جامد بخشی از حوزه محاسباتی در نظر گرفته نمی شود (شکل ۱-۱).

<sup>17</sup> Kinematic

<sup>18</sup> Dynamic

<sup>19</sup> Unstructured grid method

<sup>20</sup> Fictitious domain method



شکل ۱-۱: استفاده از شبکه نامنظم جهت مدلسازی حرکت یک جسم در داخل سیال [4]

در روش شبکه بندي نامنظم ، با توجه به پيچide شدن شكل حوزه حل ، به خصوص در حضور تعداد زيد اجسام جامد، استفاده از شبکه نامنظم غيرقابل اجتناب است. همچنین با حرکت جسم جامد در محيط سیال، شکل حوزه حل تغيير می نماید. در اين شرایط يا باید در هر گام زمانی، حوزه حل مجدداً شبکه بندي و مقادير سرعت، فشار و ساير پaramترهاي مورد نياز از شبکه قديم به جديد منتقل شود. اين امر بلافارسله باعث بروز خطاهای عددی و افزایش مدت زمان حل مسئله می شود. در روشهاي جديد می توان از شبکه تغيير شکل پذير<sup>21</sup> استفاده نمود. در چنین شرایطي بازهم پس از گذشت چند گام زمانی به دليل تغيير شکل شديد المانها می بايست شبکه بندي مجدد<sup>22</sup> انجام شود. روش های حوزه حل مجازی گستره وسیعی از راه حل های مختلف برای معادلات با مشتقات جزئی را در بر می گیرند. ایده اصلی در این روش ها بسط دادن یک حوزه حل پيچide به یک حوزه حل ساده تر است. اين روش دارای دو مزيت مهم است. نخست اينكه حوزه حل گسترش يافته از لحاظ هندسي ساده تر است و می تواند شبکه بندي های منظم و معمول را اختيار کند. همچنین با استفاده از اين روش، در بسیاری از موارد که حوزه حل اصلی وابسته به زمان است، حوزه حل مجازی می تواند مستقل از زمان در نظر گرفته شود[4].

<sup>21</sup> Deformable mesh

<sup>22</sup> Remeshing